

東北大(正)○飛田善雄
同上 柳沢栄司

まえがき Taylor・Bishopのダイレタンシーに対するエネルギー補正の提案以来、ダイレタンシーは、砂の様な粒状体の強度評定の一つとして考えられてきた。従来のダイレタンシー機構は Newland・Allely のモデル：巨視的すべり面から、実際の微視的すべり面が斜めに走っている事により、せん断に伴い体積変化が必然的に生ずる、に基づくものが多い。これは物理的に理解し易く広く受け入れられている。しかし、近年、微視的な構造・運動を詳細に調べた実験により、このダイレタンシー機構に疑問が投げかけられている。¹⁾ ここでは、2つの異なるダイレタンシー機構とその数学的表現について述べ、その2つの機構の基本的差異について考察を加える。対象とするのは、せん断变形後期 α 、充分に塑性的な内部構造が発達した状態であり、初期の負のダイレタンシーについては別の機会に議論する。座標系は直交カルト座標であり、座標軸は図によりうえられる。

1. 粒子相互のすべりによるダイレタンシー機構とその表現²⁾

この場合には、まず巨視的すべり面の方向を決定する必要がある。すべり面の数は複数個存在してもよい。基準カルト座標軸 \mathbf{S} に対し、巨視的すべり面の法線方向 $\mathbf{n}_j^{(d)}$ 、すべり面の方向が $S_j^{(d)}$ とされるものとする。单纯せん断变形機構で微視的な単位過程として考える。せん断ひずみ速度 $\dot{\gamma}^{(d)}$ 、膨張速度(刃方向)が $\nu^{(d)}$ 、微視的ダイレタンシーアル度 $\tau \tan \nu^{(d)} = \dot{\gamma}^{(d)} / \nu^{(d)}$ で与えられる時、このすべり系の全体の变形速度 $D_{ij}^{(d)}$ に対する寄与は幾何学的式(1)式で与えられる。又、考慮している単位領域で N 個可 α している時は(2)式で与えられる。

$$D_{ij}^{(d)} = P_{ij}^{(d)} \dot{\gamma}^{(d)} ; P_{ij}^{(d)} = \frac{1}{2} (S_i^{(d)} n_j^{(d)} + S_j^{(d)} n_i^{(d)}) + \tan \nu^{(d)} n_i^{(d)} n_j^{(d)} \quad (1)$$

$$\bar{D}_{ij}^* = \sum_{\alpha=1}^N P_{ij}^{(\alpha)} \dot{\gamma}^{(\alpha)} \quad (2) \quad \bar{D}_{ij}^* = \frac{1}{2} (\partial \bar{U}_i / \partial x_j + \partial \bar{U}_j / \partial x_i) \quad \bar{U}_i: \text{領域内の平均速度} \quad (3)$$

一般的には、すべり相互の干渉、その他により、(2)式の量と領域の境界条件により決定される(3)式の量とは一致しない。(この議論では、弾性变形 D_{ij}^* の大ささを無視している)。しかし、以下では $\bar{D}_{ij}^* \cong D_{ij}^{(d)}$ として議論を可 α めていく。簡単のために、(1)、(2)式を二軸圧縮状態の平面変形について考える。巨視的すべり面の方向 $\theta = (45^\circ + \frac{\phi}{2})$: $\sin \theta = \sin (45^\circ + \frac{\phi}{2})$; $\cos \theta = \cos (45^\circ + \frac{\phi}{2})$; $\theta > 0^\circ$ 、圧縮と正とすると、 θ に限定する観測時間内に自由に2つのすべり α 、 β が生じたものとする。(図1参照)この状況を(2)式に代入して、結果を求めるとき、(詳細は文献2)

$$\bar{D}_{ii}^* = -2(\dot{\gamma} C S - \dot{\nu} S^2), \bar{D}_{22}^* = 2(\dot{\gamma} C S + \dot{\nu} C^2) \quad (4)$$

$$\text{他の成分は } 0: (\bar{D}_{12}^*, \bar{W}_{12}^* = -\bar{W}_{21}^*, \bar{W}_{ij}^* = \sum_{\alpha=1}^N \frac{1}{2} (S_i^{(\alpha)} n_j^{(\alpha)} - S_j^{(\alpha)} n_i^{(\alpha)})$$

(4)式より $\sin \nu^* = (\bar{D}_{22}^* - \bar{D}_{ii}^*) / (\bar{D}_{22}^* + \bar{D}_{ii}^*)$ を求めると、

$$\sin \nu^* = \frac{2 \dot{\nu}}{4 \dot{\gamma} C S} = \frac{\tan \nu}{\cos \theta} \quad (5)$$

上式において、 $C = \cos (45^\circ + \frac{\phi}{2})$, $S = \sin (45^\circ + \frac{\phi}{2})$ この機構がダイレタンシーを示す事は明らかである。すなはち、巨視的すべり面に対して粒子の運動方向が斜めに走っている時には、ダイレタンシーを伴う事になる。すべり面に対して粒子が乗り越える様な場合には、正のダイレタンシーを示す事になる。[注、膨張速度 $\nu^{(d)}$ は図1の座標系では負符号である。これは圧縮(基準座標軸の反対方向)を正にしているためである。 ν^* は膨張の時正とする。]

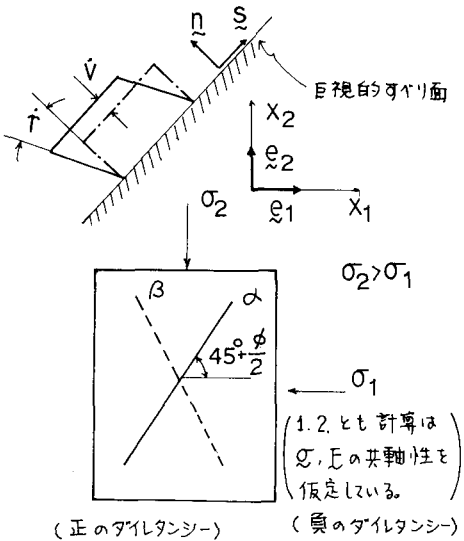


図1: すべりによるダイレタンシー機構

2. 有効接点により形成される異方的構造によるダイレタンシーの機構と表現

先に著者らは、修正応力なる概念を導入し³⁾、この修正応力 $\bar{\sigma}_{ij}^*$ はアブリック・テンソル F と巨視的応力 σ_{ij} の主軸が一致する場合には、理想的な等方構造を有する粒状体に対して定義された応力とした。

$$\bar{\sigma}_{ij}^* = A \bar{c}_k^{-1} \sigma_{kj}; \quad A_{ik} = F_{ik}/F_0^* \quad A \bar{c}_k^{-1} A_{kj} = \delta_{ij} \quad (6)$$

ここで、 F_{ik} ：実際の粒状体のもつ、有効接点（粒子間力伝達接点）に関するアブリック・テンソル F_0^* ：理想的な粒状体のもつアブリック・テンソルの値 ($F_0^* = F_i^* = F_2^* = F_3^*$)

等方構造を有する理想的な粒状体に対して、いま線形の応力速度、変形速度関係を考える。

$$D_{ij}^* = C_{cjk} \dot{\sigma}_{ke} \quad (C_{cjk} \text{ constant}) \quad (7)$$

変形時、理屈化された粒状体と実際の異方的粒状体のなれどりが等しければ、(この仮定の妥当性は明らかである)

$$\sigma_{ij} D_{ij} = \bar{\sigma}_{ij}^* D_{ij}^* \quad (8) \quad (D_{ij} - A \bar{c}_k^{-1} D_{kj}^*) \bar{\sigma}_{ij} = 0 \rightarrow D_{ij} = A \bar{c}_k^{-1} D_{kj}^* \quad (9)$$

(6)式及び(9)式、又しく $\dot{\sigma}_{ij}^* = \bar{A} \bar{c}_k^{-1} \sigma_{kj} + A \bar{c}_k^{-1} \dot{\sigma}_{kj}$ を(7)式に代入して整理すると、

$$D_{ij} = (A_{pc})^{-1} C_{pj} \dot{\sigma}_{me} (\text{km})^{-1} + (A_{pc})^{-1} C_{pj}^* \dot{\sigma}_{me} (\text{km})^{-1} \quad (10)$$

以上の間にみて、構造変化の項 $(A_{pc})^{-1} \cong 0$ と仮定すれば、異方的構造を有する粒状体の変形速度と応力速度の関係は次式で与えられる：

$$D_{ij} = (A_{pc})^{-1} C_{cjk} \dot{\sigma}_{ke} (\text{km})^{-1} \dot{\sigma}_{me} \quad (11)$$

(11)式を最も単純なケースである、図1に示す二軸圧縮試験時の平面変形に適用すると、(E: Eの共軸性を仮定)
(12)

$$D_1 = (C_{11}^*/A_1^2) \dot{\sigma}_1 + (C_{12}^*/A_1 A_2) \dot{\sigma}_2, \quad D_2 = (C_{12}^*/A_1 A_2) \dot{\sigma}_1 + (C_{22}^*/A_2^2) \dot{\sigma}_2 \quad C_{11}^* = C_{22}^* = \frac{1}{E}, \quad C_{12}^* = -\frac{v^*}{E}$$

いま、平均主応力一定試験： $\dot{\sigma}_1 = -\dot{\sigma}_2 < 0$ 、 $v^* > 0$ 、 $(D_2 + D_1)$ 及び $(D_2 - D_1)$ を求めると、

$$(D_2 + D_1) = \frac{1}{E} \left(\frac{1}{A_1^2} - \frac{1}{A_2^2} \right) \dot{\sigma}_1 \quad (D_2 - D_1) = \frac{1}{E} \left[\frac{-2v^*}{A_1 A_2} - \left(\frac{1}{A_1^2} + \frac{1}{A_2^2} \right) \right] \dot{\sigma}_1 \quad (13)$$

ダイレタンシー角を求めてみると、[注、(13)までは圧縮が正、ダイレタンシー角は膨張が正である。]

$$-\sin v^* = (A_2^2 - A_1^2)/(2A_1 A_2 - (A_2^2 + A_1^2)) \cong (A_1^2 - A_2^2)/(A_2^2 + A_1^2) \quad (v^* \cong 0) \quad (14)$$

一般的にせん断変形が可ければ、 $A_2 > A_1$ となり、正のダイレタンシーが生ずる。

実際のメカニズムと(10)式、(11)式によるダイレタンシーとの様な関係にあるのかは明確ではないが、粒状体に作用する外力により、有効接点によるアブリック・テンソルがその形を変化させる機構と密接な関連があるものと思つてゐる。(11)式によりダイレタンシーが生ずるという事は、異方的構造はダイレタンシーを生じさせる事を意味してゐる。

3. 考察 両者のモデルとも正のダイレタンシーを表現し得る事は明らかである。この2つのモデルの基本的な差異は(a)巨視的せん断面を考へるか否か？(b)、1.のモデルではダイレタンシーはせん断力に抵抗する因子となり、破壊時の主応力比を増加させる原因と考えられるのに対し、2.のモデルではダイレタンシーは異方的構造となる結果、生ずるものであると解される。現時までいふては、物理構造、数学的表現の簡明さにおいて1.のすべりモデルの方が優れている。しかし、(1)、力を伝える粒子ではすべりは生じにくく、すべりは力を伝えない粒子間に多い。(2)力を伝える粒子の運動は回転が多い。等の報告は、1.のモデルは適切に範囲を定めている。又、繰り返し変形時のダイレタンシー機構(特に変相線を越えて載荷した時の除荷時の負のダイレタンシー)を1のモデルのみで説明可能な事は困難である。これらの事より1.以外のダイレタンシー機構を考察する事は意味のある事である。勿論、ここで述べた2のモデルは、今後物理的考察に基づいて修正されるべき性質のものではあるが、すべり変形以外にも、ダイレタンシーは生ずるという事は示得たものと思う。

参考文献 本研究は文部省科研費No.58750395の補助を受けたものである。

1) 小田「微視的構造と構成式—その1 粒状体の場合」工と基礎 Vol.32 No.3 pp67~73 (1984)

2) 飛田、柳沢「津微視的観察から粒状体の変形挙動に関する2.3への考察」第19回工質工学研究発表会(1984)

3) Y. Tobita 「The significance of the fabric tensor...」 Mechanics of Granular Materials (ed. Jenkins & Satake) pp41~52 (1983)